



UNIVERSITÉ
**PARIS
DESCARTES**

Apprentissage Profond pour la Reduction de Dimension

Réalisé par :

- Ikram KAROUCHE
- Majda OULAARBI

Responsable :

- Pr. Mohamed NADIF

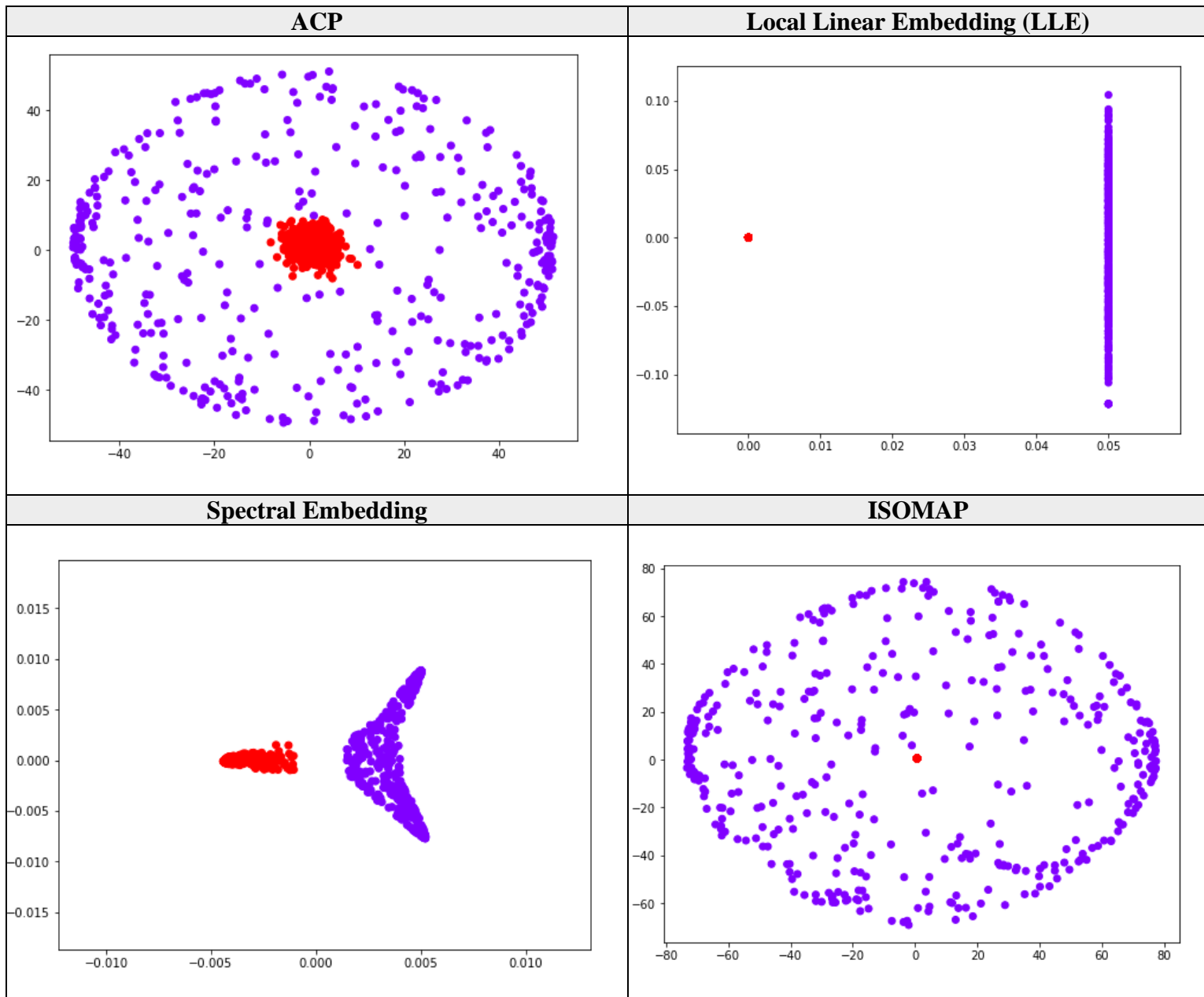
**Master Machine Learning pour la
science de données**

Année 2019-2020

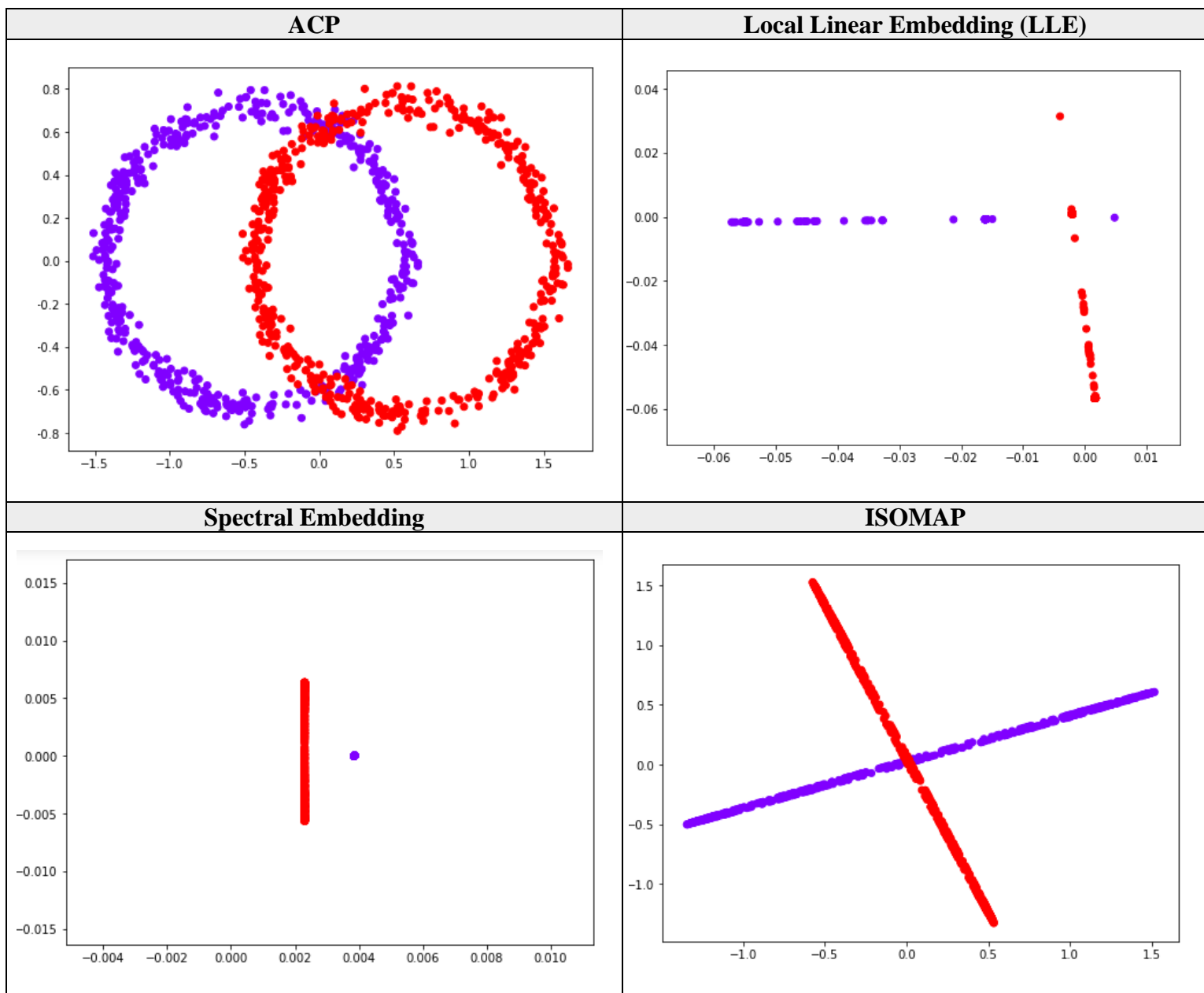
I. Données FCPS

Dans cette partie, nous présentons les résultats des méthodes de réduction de dimensions : ACP, LLE, Spectral embedding et ISOMAP.

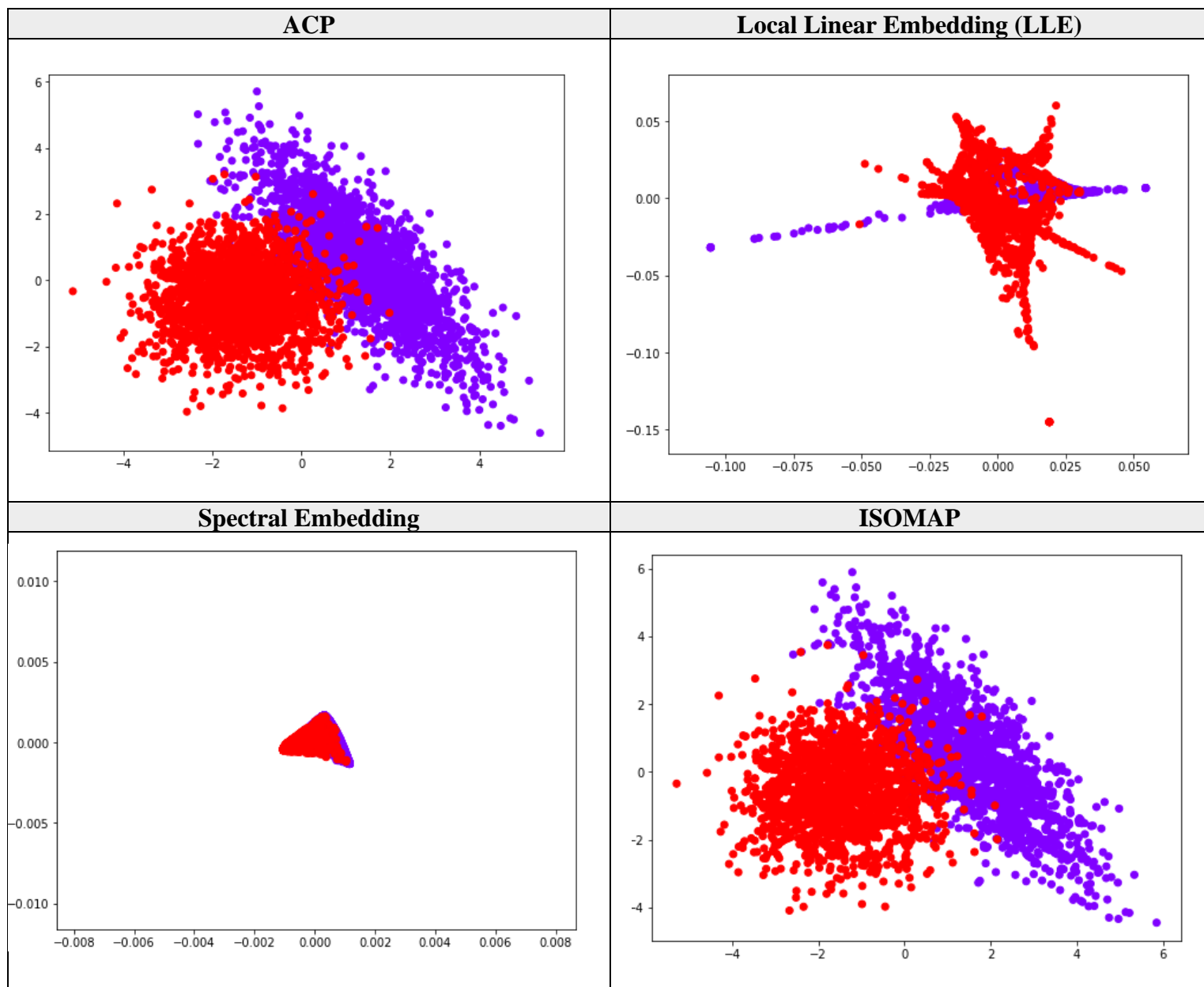
A. Atom data



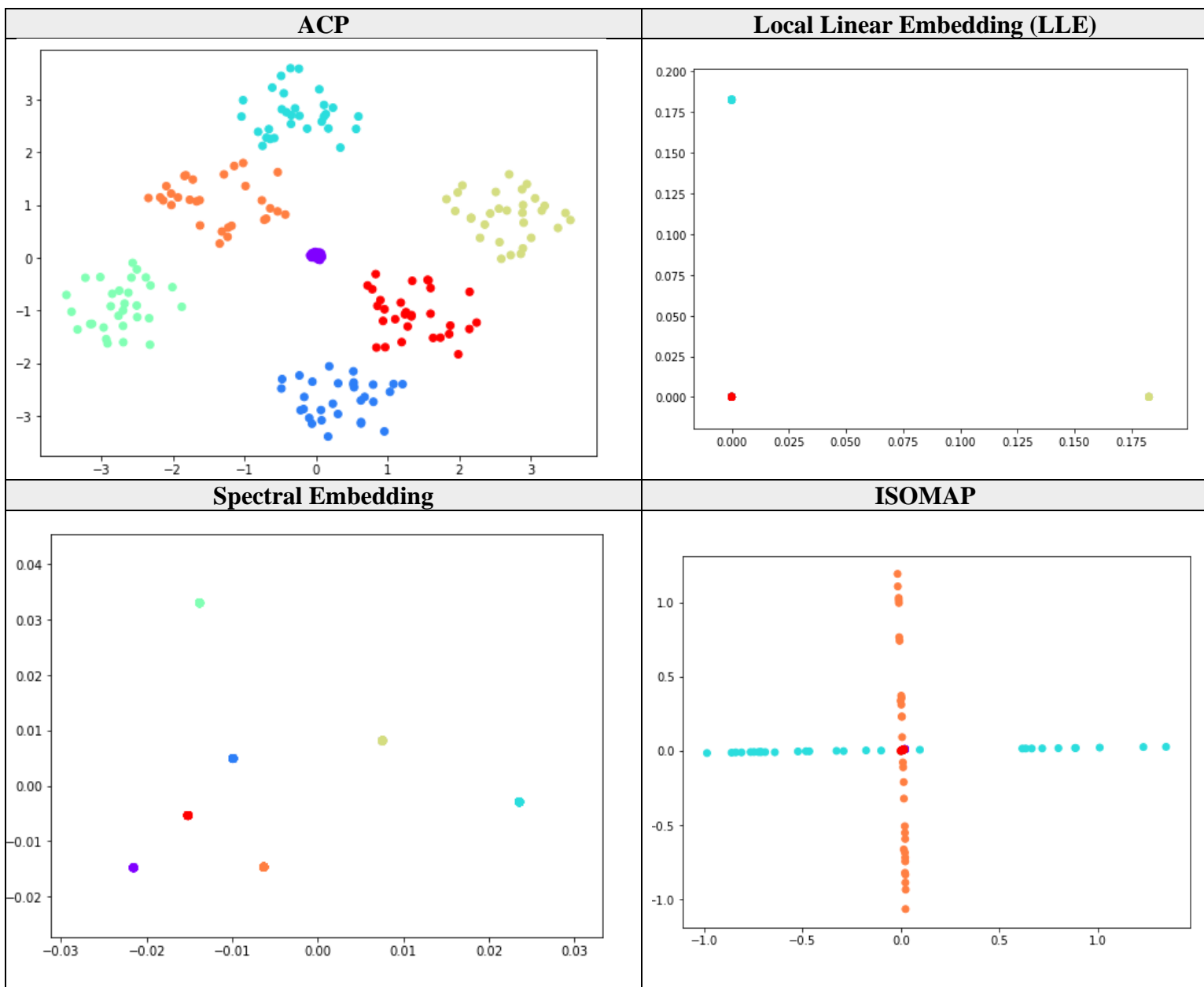
B. ChainLink data



C. EngyTime data



D. Hepta data



II. Combinaison Auto-encodeur & LLE

L'algorithme que nous avons implémenté consiste à combiner le deep autoencodeur et la méthode Local Linear Embedding (LLE) afin d'avoir la meilleure représentation possible (avec Deep AE) et un graphe de similarité caractérisant au mieux la proximité entre les points (avec LLE). La fonction objective à optimiser est la suivante :

$$\min_{\theta_1, \theta_2, S} \| \mathbf{X} - g_{\theta_2}(f_{\theta_1}(\mathbf{X})) \|^2 + \lambda \| f_{\theta_1}(\mathbf{X}) - \mathbf{S} f_{\theta_1}(\mathbf{X}) \|^2$$

Nous avons évalué cet algorithme sur trois ensembles de données : Coil 20, Coil100 et MNIST.

Le paramètre de régularisation lambda est égal à 0.02. L'algorithme converge lorsque la fonction objective atteint un seuil 0.0001 ou bien lorsque le pas d'amélioration ne dépasse pas 0.0001. Le nombre maximum d'itérations est égal à 30.

III. Evaluation de l'algorithme

A. Les données Coil20

Il s'agit de 720 images en noir et blanc (niveaux de gris) de 20 objets. Les objets ont été placés sur une plaque tournante. La table tournante a été tournée de 360 degrés pour varier la pose des objets par rapport à la caméra fixe. Les images des objets ont été prises à un intervalle de pose de 5 degrés, ce qui correspond à 72 images par objet. En total ça fait 1440 images de dimension (128 x 128).

Type	Nombre d'objets	Dimensions	Features
Gray-scale Images	1440	(128 x 128)	16384

Nous avons subdivisé les données en échantillons d'apprentissages (64%), échantillons de validation (16%) et échantillons de test (20%).

Apprentissage	Validation	Test
921	1231	288

1. Le paramétrage de l'algorithme

L'auto-encodeur appliqué sur ces données est composé de 2 couches comme le montre la figure suivante.

Après plusieurs tests de l'algorithme LLE, nous avons choisi le nombre de voisins (k = 30).

Layer (type)	Output Shape	Param #
input_8 (InputLayer)	(None, 16384)	0
dense_19 (Dense)	(None, 4096)	67112960
dense_20 (Dense)	(None, 1024)	4195328
dense_21 (Dense)	(None, 4096)	4198400
dense_22 (Dense)	(None, 16384)	67125248
Total params: 142,631,936		
Trainable params: 142,631,936		
Non-trainable params: 0		

Figure 1 : Architecture de l'auto-encodeur utilisé pour la compression des données coil20

2. Evaluation de l'algorithme

Une première application de l'auto-encodeur (epochs = 50 et batch = 256) sur les données de test a donné une qualité de visualisation faible comme le montre la figure suivante.

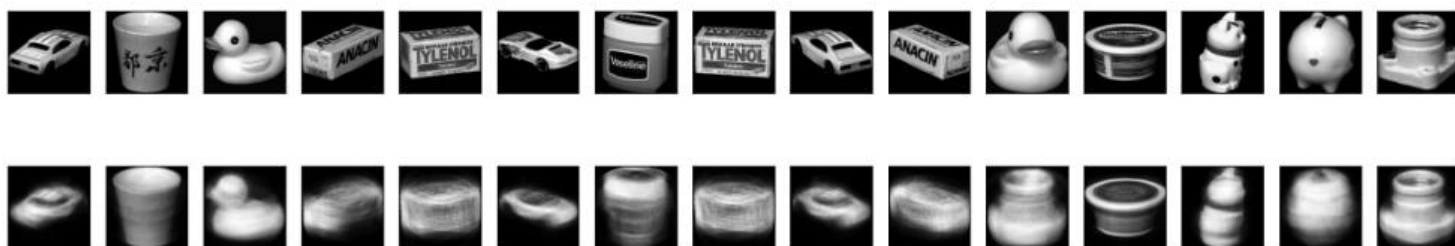


Figure 2 : Le résultat de visualisation des images reconstruites avec l'auto-encodeur

Nous avons injecté la représentation encodée à l'algorithme LLE. La figure suivante illustre la distribution des images selon les deux premières composantes :

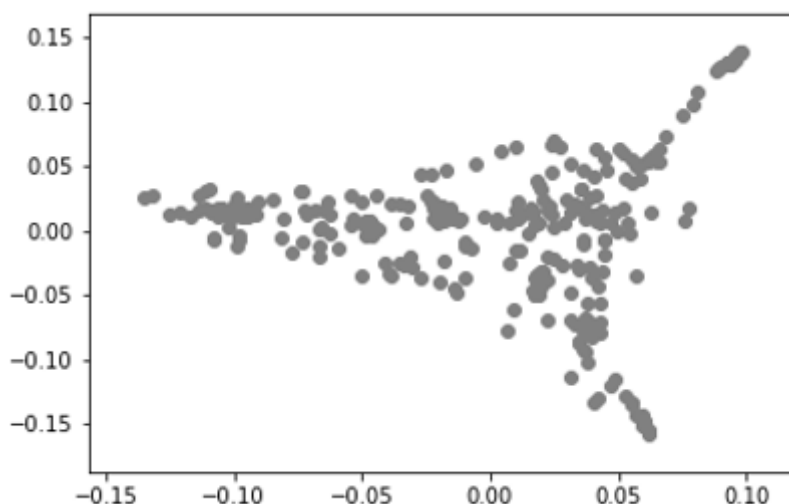


Figure 3 : La distribution des images coil20 selon les deux premières composantes principales LLE

La projection des images de test sur les deux premières composantes donne le résultat présenté dans la figure suivante



Figure 4 : Le résultat initial du clustering avec LLE sur l'encodage des images

Nous remarquons que LLE a pu détecter quelques clusters d'objets à partir de la représentation encodée des images. L'erreur globale après une première itération est égale à : 1.61%

Après 7 itérations, l'algorithme a convergé avec une valeur de MSE égale à 0.74%. La figure suivante montre l'évolution de la fonction objective au cours des itérations :

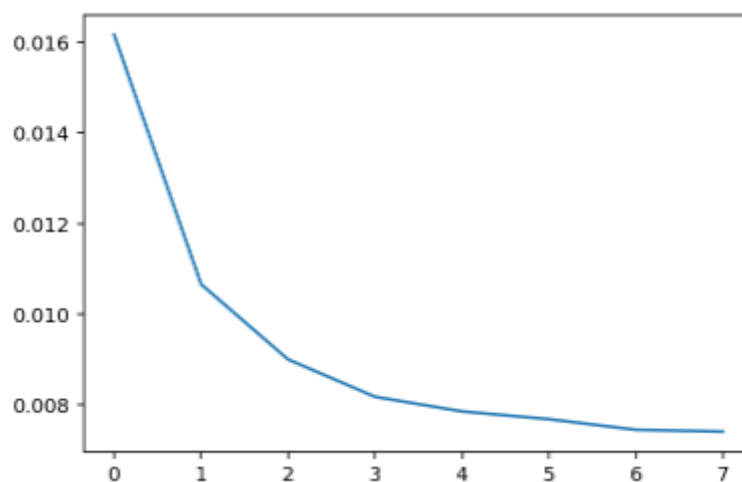


Figure 5 : L'évolution de la fonction de perte globale au cours des itérations

Le résultat de visualisation des images reconstruites est montré dans la figure suivante :



Figure 6 : La qualité de visualisation des images reconstruites après la convergence de l'algorithme

Nous remarquons que la qualité de visualisation a beaucoup amélioré après la convergence de l'algorithme. De même pour la qualité du clustering comme le montre la figure suivante.

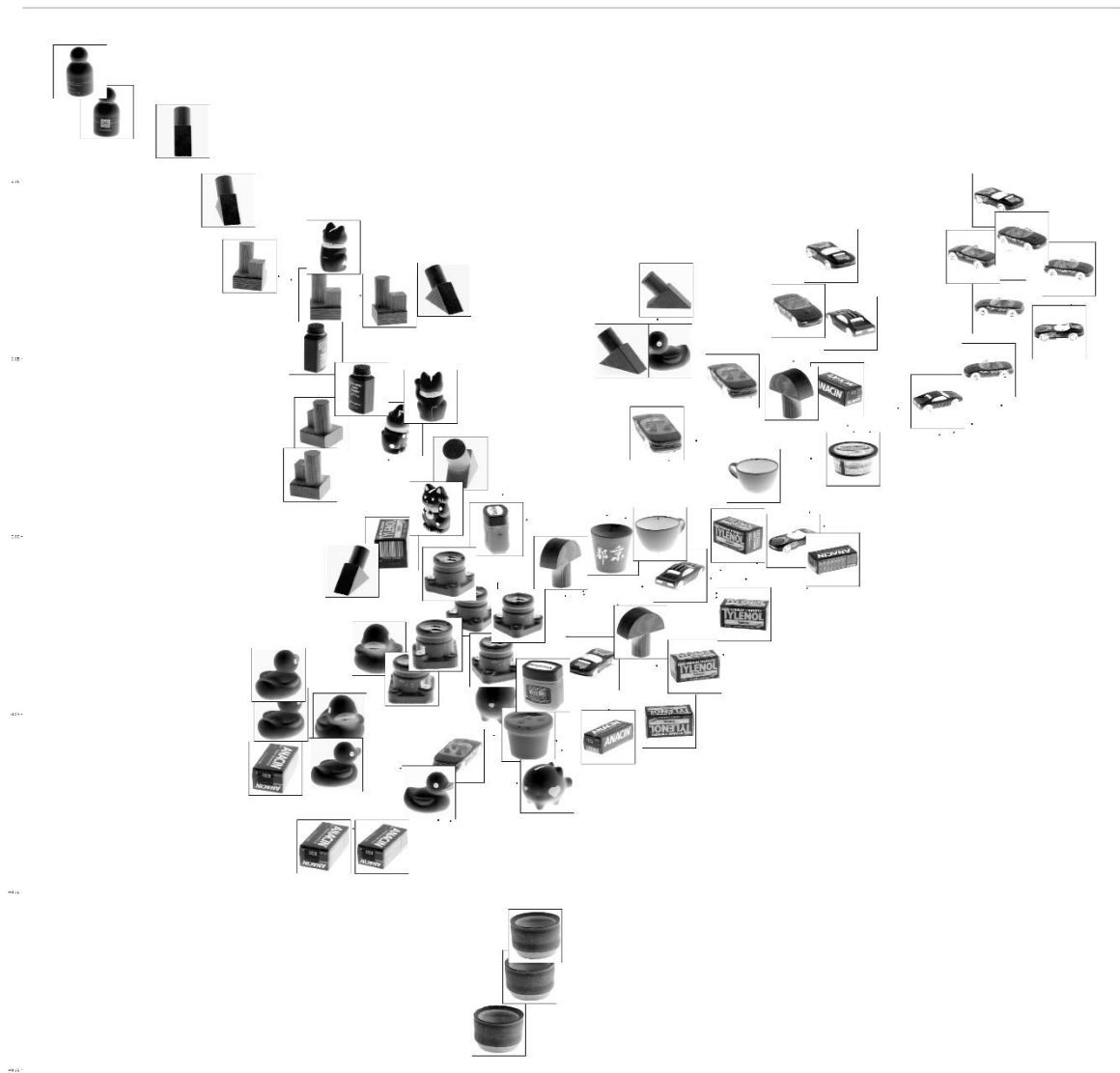


Figure 7 : Le résultat final du clustering avec LLE sur l'encodage des images

B. Les données MNIST

MNIST est une base de données de chiffres écrits à la main. Elle comprend un lot 60 000 images dédiées à l'apprentissage et 10 000 images pour le test set.

Type	Nombre d'objets	Dimensions	Features
Gray-scale Images	- 60000 pour l'apprentissage - 10000 pour le test	(28 x 28)	784

Nous avons subdivisé les données d'apprentissages en échantillon de validation (40%) et échantillons d'apprentissage (60%).

Apprentissage	Validation	Test
36000	24000	10000

1. Le paramétrage de l'algorithme

L'auto-encodeur appliqué sur ces données est composé d'une seule couche comme le montre la figure suivante.

Layer (type)	Output Shape	Param #
input_1 (InputLayer)	(None, 784)	0
dense_1 (Dense)	(None, 32)	25120
dense_2 (Dense)	(None, 784)	25872
Total params: 50,992		
Trainable params: 50,992		
Non-trainable params: 0		

Figure 8 : Architecture de l'auto-encodeur utilisé pour la compression des données MNIST

Après plusieurs testes de l'algorithme LLE, nous avons choisi le nombre de voisins ($k = 20$).

2. Evaluation de l'algorithme

Une première application de l'auto-encodeur (epochs = 50 et batch = 256) sur les données de test a donné une qualité de visualisation faible comme le montre la figure suivante.



Figure 9 : Le résultat initial de visualisation des images reconstruites avec l'auto-encodeur

Nous avons injecté la représentation encodée à l'algorithme LLE. La figure suivante illustre la distribution des images selon les deux premières composantes :

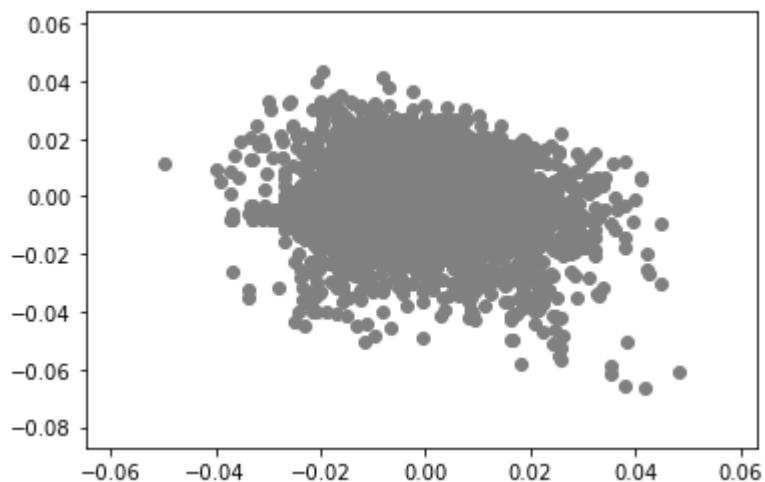


Figure 10 : La distribution des images MNIST selon les deux premières composantes principales LLE

La projection des images de test set sur les deux premières composantes donne le résultat présenté dans la figure suivante

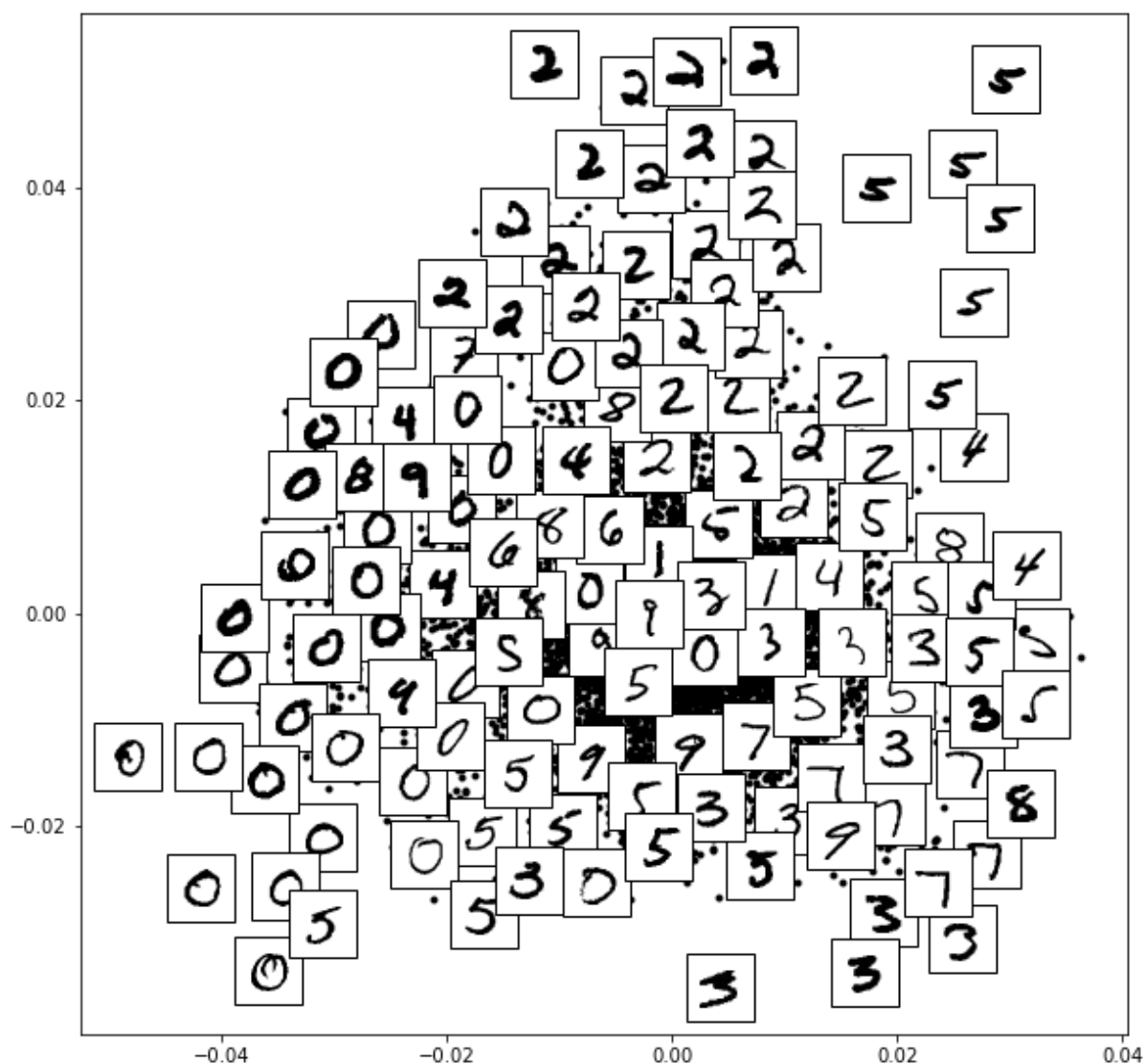


Figure 11 : Le résultat initial du clustering avec LLE sur l'encodage des images

Nous remarquons que LLE a pu la forme des chiffres à partir de la représentation encodée des images. L'erreur global après une première itération est égale à : 2.98%

Après 30 itérations, l'algorithme a convergé avec une valeur de MSE égale à 1.08%. La figure suivante montre l'évolution de la fonction objective au cours des itérations :

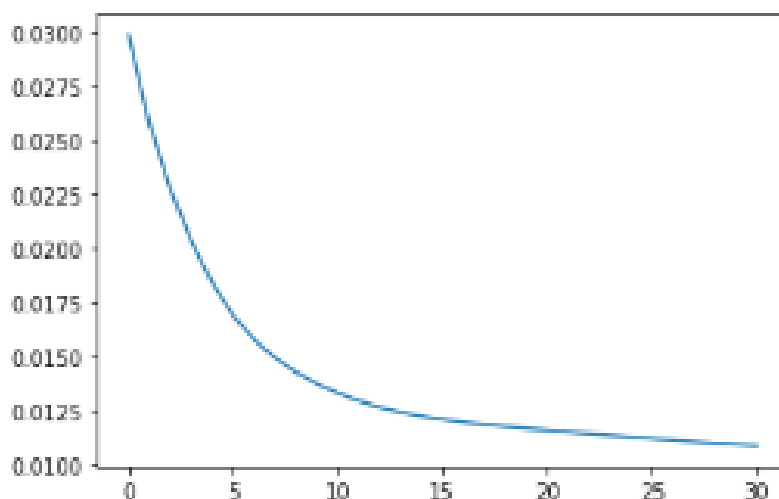


Figure 12 : L'évolution de la fonction de perte globale au cours des itérations

Le résultat de visualisation des images reconstruites est montré dans la figure suivante :



Figure 13 : La qualité de visualisation des images reconstruites après la convergence de l'algorithme

Nous remarquons que la qualité de visualisation a beaucoup amélioré après la convergence de l'algorithme. La qualité du clustering aussi. La figure suivante illustre le clustering des images après la convergence.

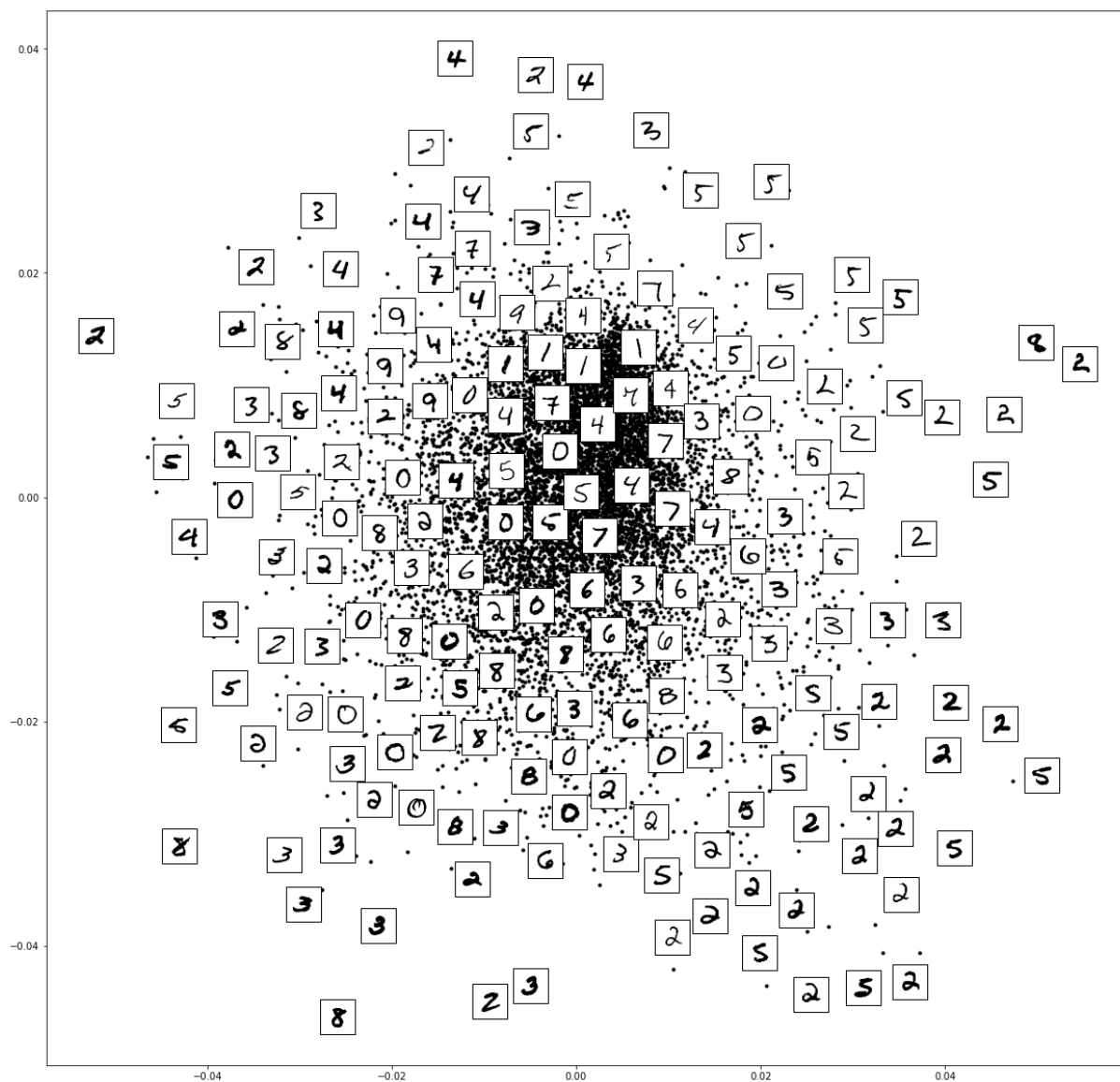


Figure 14 : Le résultat final du clustering avec LLE sur l'encodage des images

C. Les données Coil100

Coil100 est une base de données de 7200 images en couleur de 100 objets (72 images par objet). Les objets ont été placés sur une plaque tournante. La table tournante a été tournée de 360 degrés pour varier la pose des objets par rapport à la caméra fixe. Les images des objets ont été prises à un intervalle de pose de 5 degrés.

Type	Nombre d'objets	Dimensions	Features
En couleur	7200	(28 x 28)	784

Nous avons subdivisé les données en échantillons d'apprentissages (85%) et échantillons de test (15%).

Apprentissage	Test
6120	1080

1. Le paramétrage de l'algorithme

L'auto-encodeur appliqué sur ces données est composé d'une seule couche comme le montre la figure suivante.

Layer (type)	Output Shape	Param #
input_6 (InputLayer)	(None, 128, 128, 3)	0
sequential_3 (Sequential)	(None, 1024)	50332672
sequential_4 (Sequential)	(None, 128, 128, 3)	50380800
Total params: 100,713,472		
Trainable params: 100,713,472		
Non-trainable params: 0		
None		

Figure 15 : Architecture de l'auto-encodeur utilisé pour la compression des données Coil100

Après plusieurs testes de l'algorithme LLE, nous avons choisi le nombre de voisins ($k = 30$).

2. Evaluation de l'algorithme

Une première application de l'auto-encodeur (epochs = 20) sur les données de test a donné une qualité de visualisation très faible comme le montre la figure suivante.

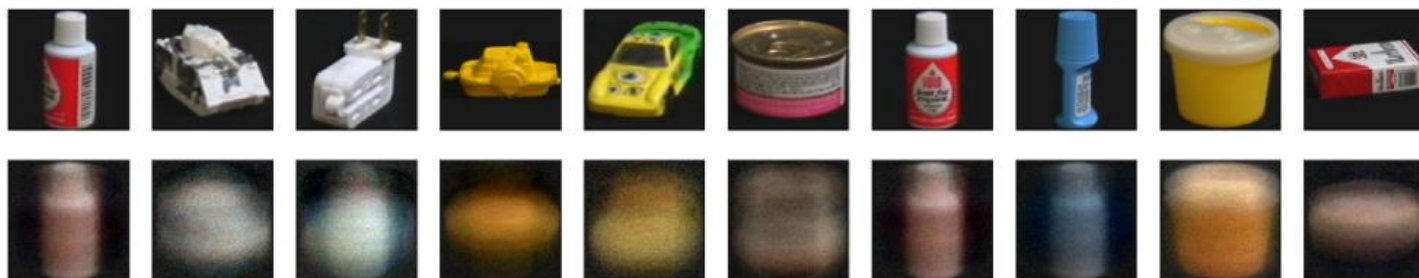


Figure 16 : Le résultat initial de visualisation des images reconstruites avec l'auto-encodeur

Nous avons injecté la représentation encodée à l'algorithme LLE. La figure suivante illustre la distribution des images selon les deux premières composantes :

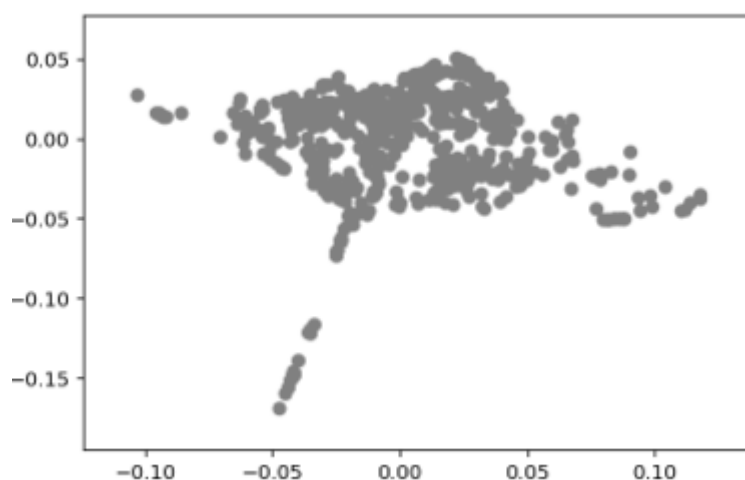


Figure 17 : La distribution des images Coil100 selon les deux premières composantes principales

La projection des images de test set sur les deux premières composantes donne le résultat présenté dans la figure suivante.

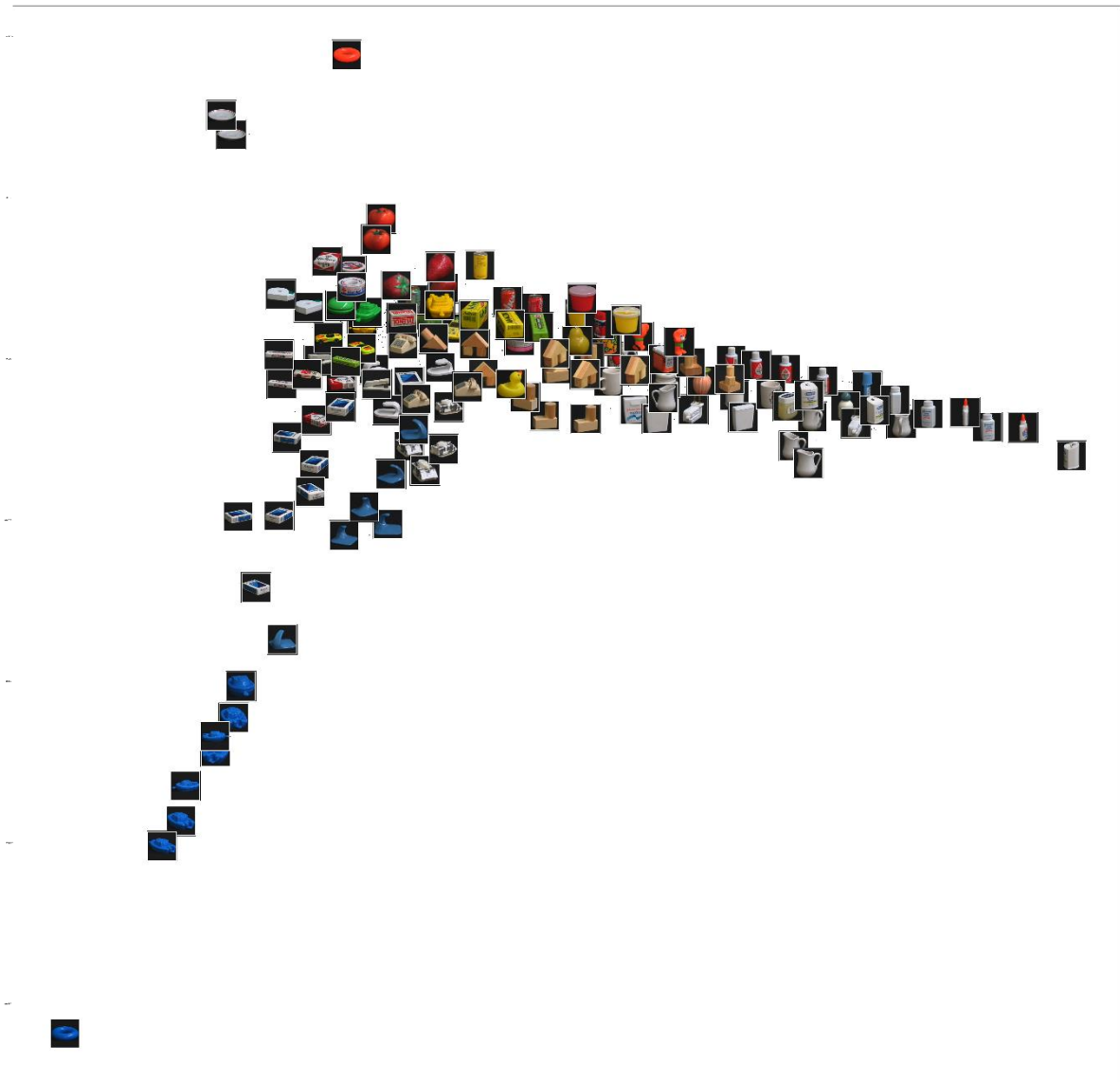


Figure 18 : Le résultat initial du clustering avec LLE sur l'encodage des images

Nous remarquons que LLE a pu détecter les clusters des objets à partir de la représentation encodée des images. L'erreur globale après une première itération est égale à : 1.78%

Après 5 itérations, l'algorithme a convergé avec une valeur de MSE égale à 0.19%. La figure suivante montre l'évolution de la fonction objective au cours des itérations :

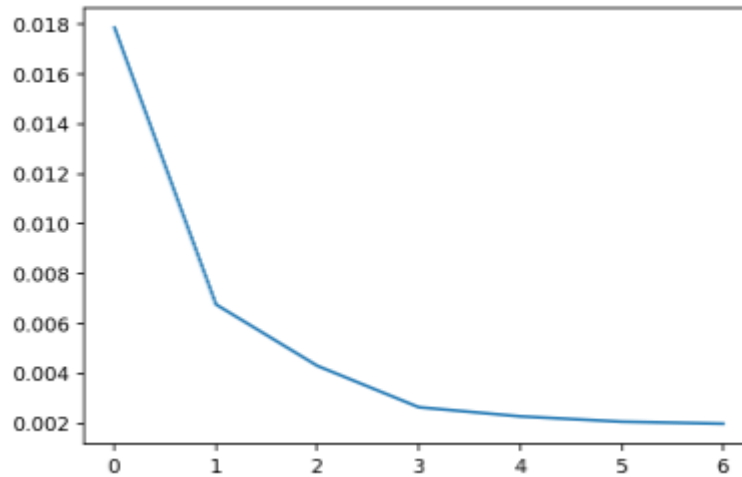


Figure 19 : L'évolution de la fonction de perte globale au cours des itérations

Le résultat de visualisation des images reconstruites est montré dans la figure suivante :



Figure 20 : La qualité de visualisation des images reconstruites après la convergence de l'algorithme

Nous remarquons que la qualité de visualisation a beaucoup amélioré après la convergence de l'algorithme. De même pour le clustering comme le montre la figure suivante.

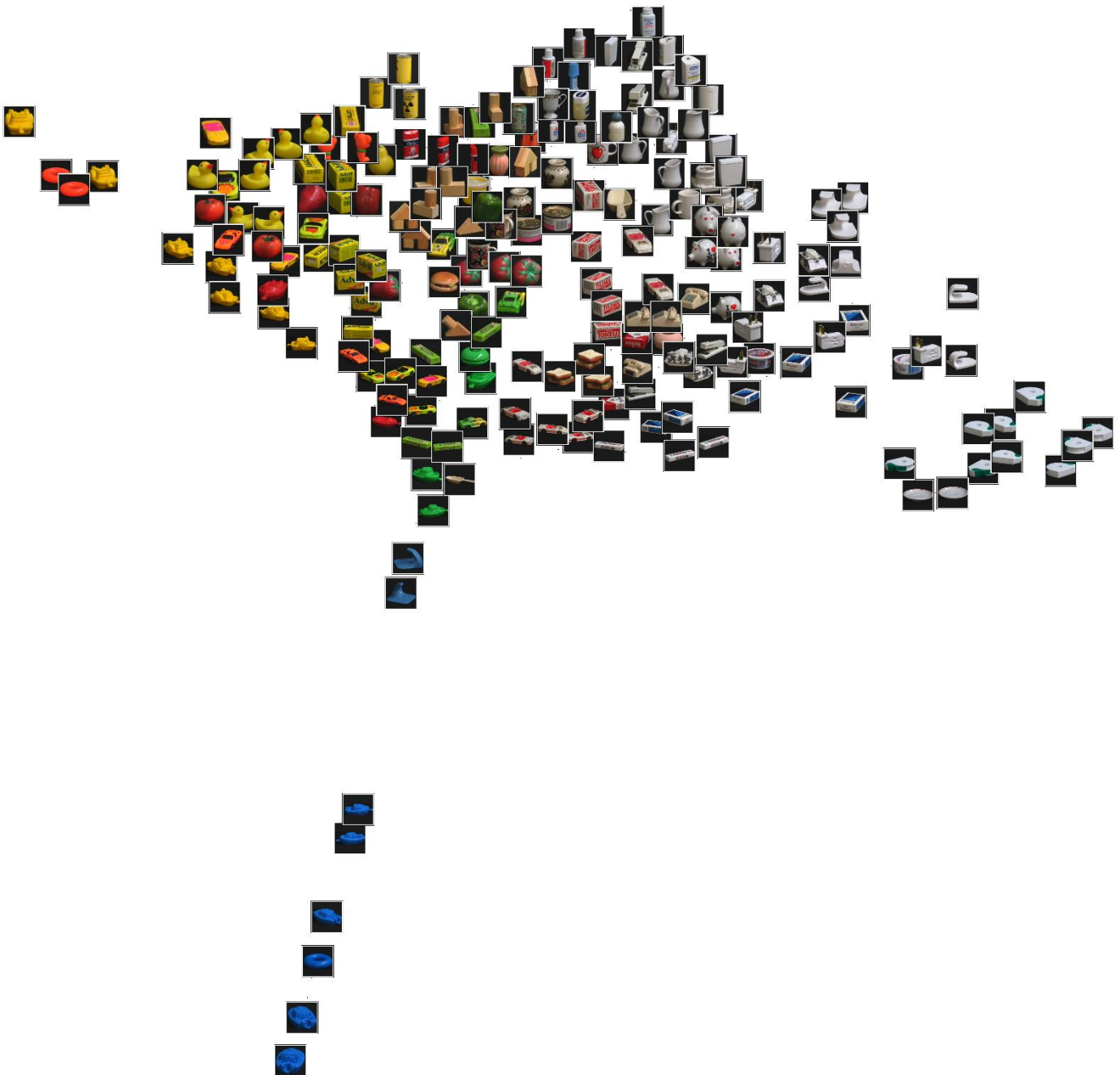


Figure 21 : Le résultat du clustering avec LLE sur l'encodage des images

IV. Conclusion

Le deep autoencodeur est un outil puissant pour la compression des images. Sa combinaison avec LLE a permis d'améliorer la qualité de représentation encodée ainsi que le clustering. L'inconvénient majeur à noter est le temps nécessaire pour la convergence de l'algorithme qui dépend fortement des ressources utilisés ainsi que la taille des objets.